

# Мезоскопические суперпозиционные состояния светлых солитонов для квантовой метрологии

Д.В. Царёв, А.П. Алоджанц Университет ИТМО

12 февраля, 2021г.

## Обсуждаемые вопросы

- 1. Квантовая метрология: цели, задачи и подходы.
- 2. Интерферометрия в оптике и в атомной оптике.
- 3. Запутанные материальные солитоны как источники мезоскопических состояний с атомами и их основные свойства
- 4. Проблема метрологии с диссипацией. Устойчивость солитонных состояний к потерям частиц.
- 5. Актуальные эксперименты с материальными солитонами
- 6. Нелинейная метрология и достижение супер-Гейзенберговского предела 1/N<sup>3</sup> оценки параметров на основе квантовых солитонов

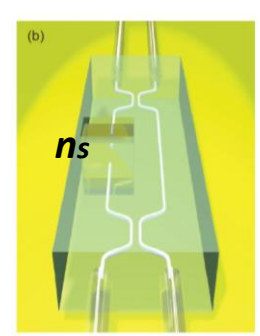


#### Актуальность темы

#### Современные сверхточные измерения

- в астрофизике, при регистрации гравитационных волн, LIGO;
- в квантовой оптике и литографии;
- в биофотонике;
- в прецизионной спектроскопии, стандартах частоты и времени;

Измерение концентрации бычьего сывороточного альбумина в водном растворе



 $\Delta n_s = \frac{\lambda}{2\pi L} \phi,$ 

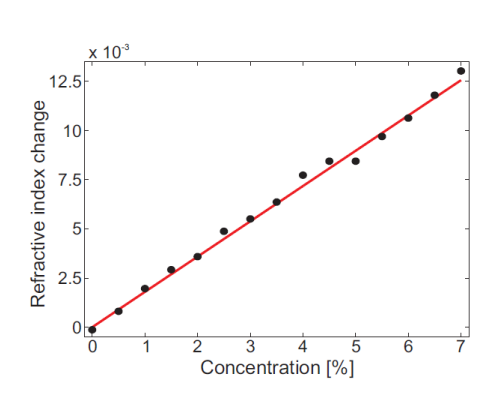
 $L = 55 \, \mu \mathrm{m}$ 

 $\lambda = 0.785 \,\mu \mathrm{m}$ 

$$rac{1}{\sqrt{2}}(|2\rangle_a|0\rangle_b+|0\rangle_a\,|2\rangle_b)$$
  
Начальное состояние

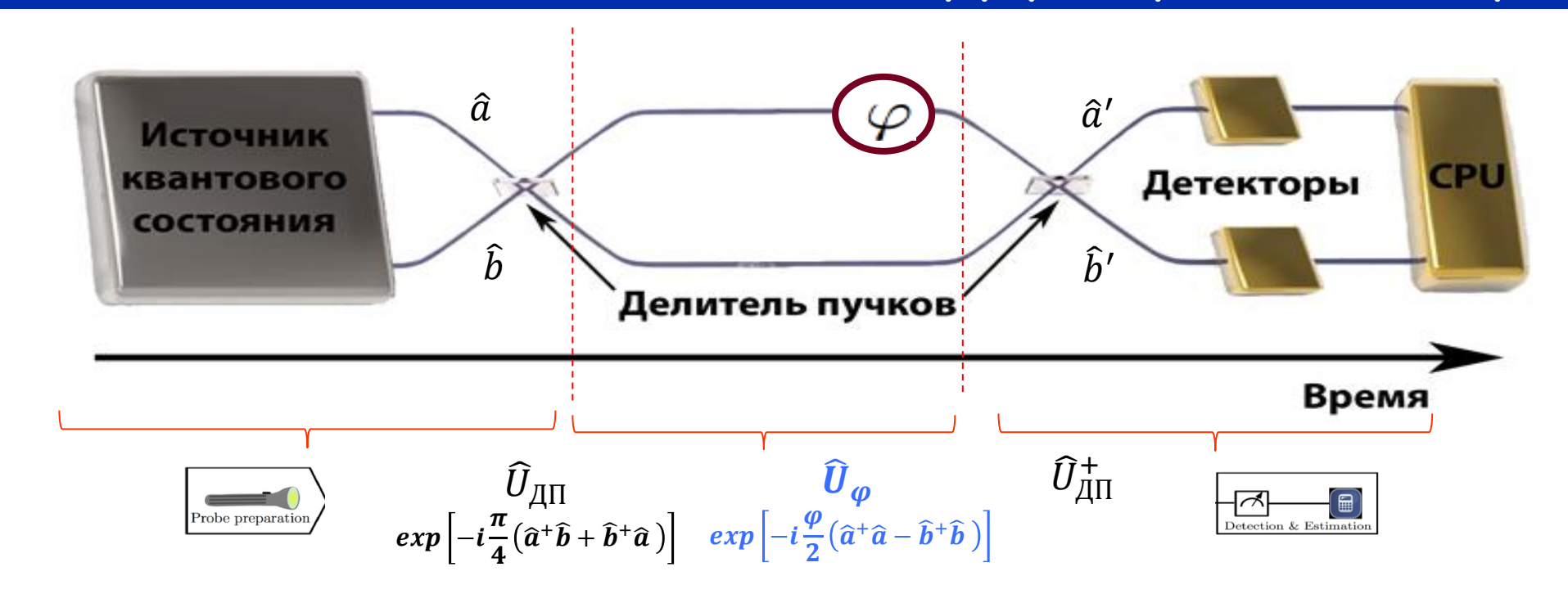


J. Aasi, et al, NAT. Photonics, 7, 2013



A. Crespi, et al, Appl. Phys. Lett. 100, 233704 (2012)

## Принципиальная схема интерферометра Маха-Цендера



$$\hat{a}' = \widehat{U}_{IMZ} \hat{a} \widehat{U}_{IMZ}^+; \quad \hat{b}' = \widehat{U}_{IMZ} \hat{b} \widehat{U}_{IMZ}^+; \quad \widehat{U}_{IMZ} = \widehat{U}_{Д\Pi} \widehat{U}_{\varphi} \widehat{U}_{Д\Pi}^+$$

Измерение физических параметров сводится к прецизионному измерению разности фаз

#### Математическое описание интерферометра

Операторы квазиспина:

$$\hat{J}_{x} = \frac{1}{2} \left( \hat{a}^{\dagger} \hat{b} + \hat{b}^{\dagger} \hat{a} \right)$$

$$\hat{J}_{y} = \frac{1}{2i} (\hat{a}^{\dagger} \hat{b} - \hat{b}^{\dagger} \hat{a})$$

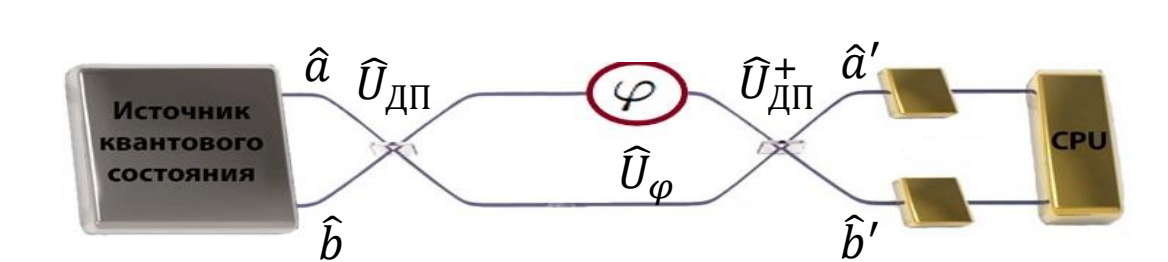
$$\hat{J}_z = \frac{1}{2} (\hat{a}^+ \hat{a} - \hat{b}^+ \hat{b})$$

$$\hat{\boldsymbol{J}} = \frac{1}{2} \left( \hat{a}^{\dagger} \hat{a} + \hat{b}^{\dagger} \hat{b} \right) = \frac{N}{2}$$

SU(2) алгебра операторов:

$$\left[\hat{J}_{x},\hat{J}_{y}\right]=i\hat{J}_{z}$$

 $\hat{a}$ ,  $\hat{b}$  – бозонные операторы уничтожения;  $[\hat{a},\hat{a}^+]=[\hat{b},\hat{b}^+]=1$ 



Преобразование в линейных элементах интерферометра эквивалентны вращению в абстрактном спиновом пространстве:

Делитель пучков

$$\widehat{U}_{\Pi} = exp\left[-i\frac{\pi}{2}\,\widehat{J}_x\,\right]$$

$$\widehat{U}_{\varphi} = exp\left[-i\varphi\widehat{J}_z\,\right]$$

#### Точность оценки фазового параметра

Последовательность вращений на  $^{\pi}/_{2}$ ,  $\varphi$  и  $^{\pi}/_{2}$  вокруг осей X, Z и X, соответственно, приводит к вращению на  $\varphi$  вокруг оси Y.

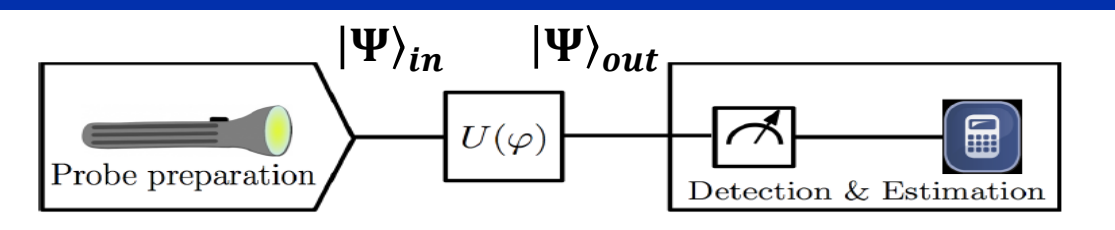
Источник квантового состояния 
$$\widehat{b}$$
  $\widehat{U}_{\mu}$   $\widehat{U}_{\phi}$   $\widehat{U}_{\phi}$   $\widehat{v}_{\mu}$   $\widehat{v}_{\phi}$   $\widehat{v}_{\phi}$   $\widehat{v}_{\phi}$   $\widehat{v}_{\phi}$   $\widehat{v}_{\phi}$   $\widehat{v}_{\phi}$ 

$$\begin{pmatrix} \hat{J}_{x}' \\ \hat{J}_{y}' \\ \hat{J}_{z}' \end{pmatrix} = \hat{U}_{IMZ} \begin{pmatrix} \hat{J}_{x} \\ \hat{J}_{y} \\ \hat{J}_{z} \end{pmatrix} = \begin{pmatrix} \cos[\varphi] & 0 & \sin[\varphi] \\ 0 & 1 & 0 \\ -\sin[\varphi] & 0 & \cos[\varphi] \end{pmatrix} \begin{pmatrix} \hat{J}_{x} \\ \hat{J}_{y} \\ \hat{J}_{z} \end{pmatrix}$$
 
$$\langle \hat{J}_{z}' \rangle = \cos[\varphi] \langle \hat{J}_{z} \rangle_{\text{in}} - \sin[\varphi] \langle \hat{J}_{x} \rangle_{\text{in}}$$
 
$$\Delta^{2} J_{z}' = \cos^{2}[\varphi] \Delta^{2} J_{z}_{in} + \sin^{2}[\varphi] \Delta^{2} J_{x}_{in}$$
 
$$-2\sin[\varphi] \cos[\varphi] \cos(\mathcal{J}_{x}, \mathcal{J}_{z})$$
 
$$\cot(\mathcal{J}_{x}, \mathcal{J}_{z}) = \frac{1}{2} \langle \hat{J}_{x} \hat{J}_{z} + \hat{J}_{z} \hat{J}_{x} \rangle - \langle \hat{J}_{x} \rangle \langle \hat{J}_{z} \rangle - \text{ковариантность}.$$

Точность оценки параметра фазы
$$\Delta arphi = rac{\Delta J_Z}{|\partial \langle \hat{J}_Z 
angle / \partial arphi|}$$
 определяется флуктуациями  $\hat{J}_Z$ 

$$\Delta J_z \equiv \sqrt{\langle \psi \left| \left( \Delta \hat{J}_z \right)^2 \right| \psi \rangle_{ab}}$$

#### Квантовая метрология



Предел Гейзенберга с максимально запутанным NOON-состоянием

$$|N\rangle_a|0\rangle_b + e^{i\varphi N}|0\rangle_a|N\rangle_b$$

## $\frac{1}{N} \leq \Delta \varphi \leq \frac{1}{\sqrt{N}}$

#### Недавние эксперименты

- ✓ Heonoh Kim et al *Three-photon N00N states generated by photon subtraction from double photon pairs* Optics Express 17, 19720 (2009)
- ✓ I. Afek et al *High-NOON States by Mixing Quantum and Classical Light* Science **328**, 879 (2010)
- ✓ L. A. Rozema et al *Scalable Spatial Superresolution Using Entangled Photons* PRL **112**, 223602 (2014)
- ✓ S. T Merkel, F. Kwilhelm *Generation and detection of NOON states in superconducting circuits* NJP **12**, 093036 (2010)

$$U(\varphi)=e^{i\varphi N}$$

N — число частиц

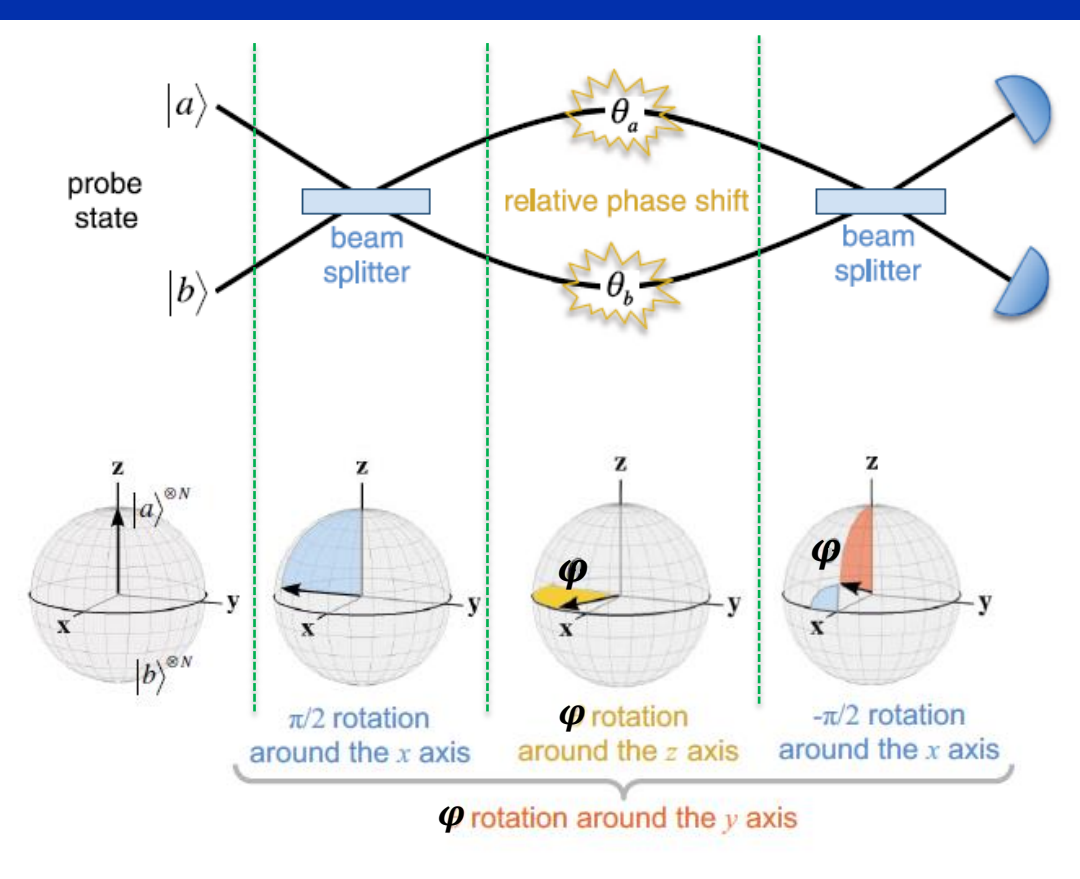
Стандартный квантовый предел, с когерентным нач. состоянием  $|\Psi\rangle = |\alpha\rangle_A|0\rangle_B$ 

#### Ключевой вопрос:

Можно ли получить состояния, подобные N00N, устойчивые к потерям и содержащие мезоскопическое число частиц  $(N \ge 50)$ ?

7/25 Проблема: NOON-состояния с N > 3 создать очень сложно!

#### за темо university Квантовая метрология с атомными конденсатами



8/25

В интерферометре МЦ две моды  $|a\rangle$  и  $|b\rangle$  смешиваются в делителе пучков, претерпевают фазовый сдвиг  $\boldsymbol{\varphi} = \boldsymbol{\theta}_a - \boldsymbol{\theta}_b$  и снова смешиваются в делителе пучков.

Эквивалентно можно изобразить эти процессы в через вращение коллективного спина БЭК на сфере Блоха. Изначальное состояние  $|a\rangle^{\otimes N}$  располагается в «северном полюсе» сферы. Весь процесс эквивалентен вращению радиус-вектора вокруг оси **Y** на угол  $\boldsymbol{\varphi}$ .

L. Pezze, et al, Rev. Mod. Phys. (2018)

#### Квантовый подход к солитонам

#### Солитоны в квантовой теории поля

*Elliott H. Lieb and Werner Liniger*, *Exact Analysis of an Interacting Bose Gas. I, II* Physical Review 130: 1605–1624 (1963) *Faddeev, L. D., & Korepin, V. E.*. *Quantum theory of solitons*. *Physics Reports, 42(1), 1–87* (1978)

#### Солитоны в квантовой оптике

- P. D. Drummond and S. J. Carter, "Quantum-field theory of squeezing in solitons," J. Opt. Soc. Am. B 4, 1565 (1987).
- Y. Lai and H. A. Haus, Quantum theory of solitons in optical fibers. Phys. Rev. A 40, 844 (1989)
- A. V. Belinskii and A. S. Chirkin, Quantum theory of nonlinear propagation of Schrodinger solitons: squeezed states and sub-Poisson statistics Zh. Eksp. Teor. Fiz. 98,407418 (1990)
- S. R. Friberg, et al, Observation of Optical Soliton Photon-Number Squeezing," Phys. Rev. Lett. 77, 3775 (1996).

#### Солитоны при взаимодействии света и вещества

Ray-Kuang Lee and Yinchieh Lai, Quantum squeezing and correlation of self-induced transparency solitons, Phys. Rev. A 80, 033839 (2009)

T. Y. Golubeva, Yu. M. Golubev, et al. Quantum Fluctuations in a Laser Soliton. Opt. Spectrosc. 128, 505 (2020)

#### Солитоны БЭК

- C. J. Pethick and H. Smith, Bose-Einstein Condensation in Dilute Gases, (Cambridge University, 2008)
- S. Raghavan and G.P. Agrawal Switching and self-trapping dynamics of Bose Einstein Solitons J. Mod. Opt. 47 1155–69 (2000)

#### Атомные светлые солитоны

#### Уравнение Шрёдингера

$$i\frac{\partial}{\partial t}\psi = -\frac{1}{2}\frac{\partial^2}{\partial x^2}\psi - u|\psi|^2\psi$$

$$u=2\pi |a_{sc}|/a_0$$
 – атомная нелинейность  $a_{sc}$  – длина атом-атомного рассеяния

 $a_0$  – характерный размер ловушки

#### Классический светлый солитон



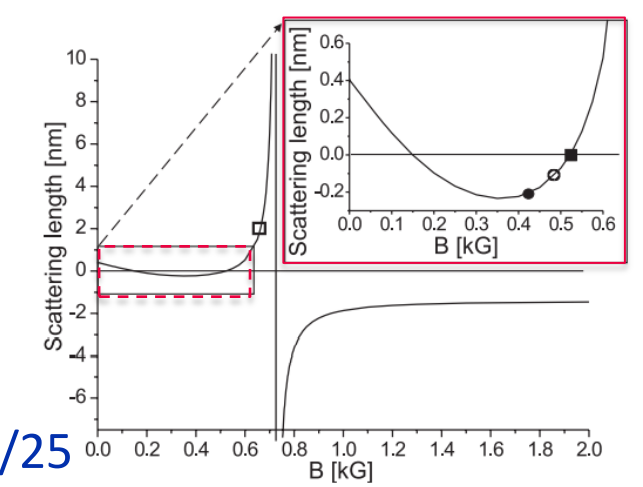
коллапсирует

$$\psi(x,t) = \frac{N\sqrt{u}}{2} \operatorname{sech}\left[\frac{uN}{2}x\right] e^{i\frac{u^2N^2}{8}t}$$

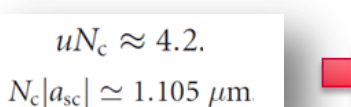
 $\psi(x,t)$  – «волновая функция» конденсата

Условие нормировки:

#### Резонанс Фешбаха для <sup>7</sup>Li



Критическое число атомов  $^{7}$ Li, при котором конденсат





 $\int |\psi|^2 dx = N$ 

 $5.2 \times 10^{3}$ 

#### Число частиц мезоскопично!

- Strecker K E, et al, *Nature* 417 150–3 (2002)
- Khaykovich L, et al , *Science* 296 1290 (2002)

#### одномодовом приближении Гамильтониан в общем случае

Квантование солитона в

## Для Гауссовых пакетов БЭК

### Анзац решения: $\hat{\psi}(x, t) = \hat{a}(t)\Psi(x)$

$$\Psi = \frac{\nu^{1/4} \sqrt{N}}{1/4} e^{-\nu x^2/2} e^{i\theta}$$

## Пространственная волновая функция конденсата

 $\hat{H} = \int \mathrm{d}x \hat{\psi}^{\dagger}(x, t) \left( -\frac{1}{2} \frac{\partial^2}{\partial x^2} - \frac{u}{2} \hat{\psi}^{\dagger}(x, t) \hat{\psi}(x, t) + U_{\mathrm{tr}}(x) \right) \hat{\psi}(x, t)$ 

$$\hat{H}_{\text{eff}} = \hbar \Omega_L \hat{N} - \hbar \Omega_2 \hat{N}^2$$

$$\hbar \Omega_L = \int dx \Psi^*(x) \left( -\frac{1}{2} \frac{\partial^2}{\partial x^2} + U_{\text{tr}}(x) \right) \Psi(x),$$

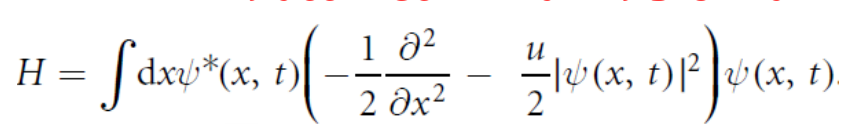
$$\hbar \Omega_2 = \frac{u}{2} \int dx |\Psi(x)|^4.$$

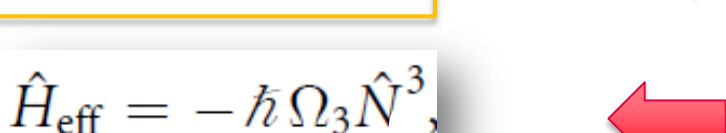
$$\int dx \Psi^*(x) \left( -\frac{1}{2} \frac{\partial^2}{\partial x^2} \right) dx$$

$$\hat{N} = \hat{a}^{\dagger} \hat{a}$$

Анзац решения 
$$\psi(x, t) = \frac{N\sqrt{u}}{2} \operatorname{sech} \left[ \frac{Nux}{2} \right] e^{i\frac{N^2u^2}{8}t}$$

#### Для солитонов БЭК Классический Гамильтониан





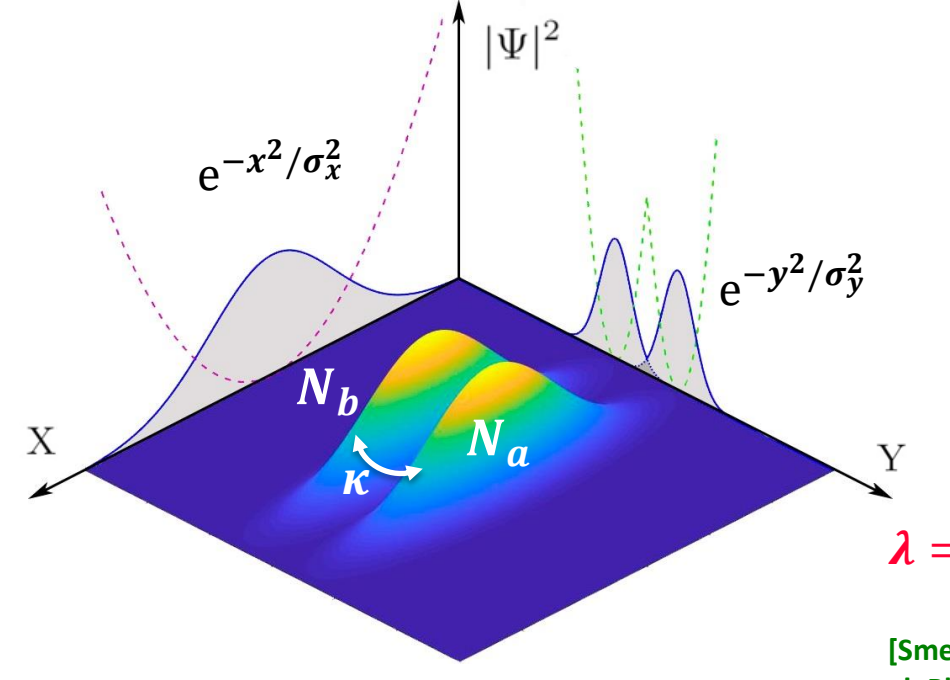


$$H = -\frac{N^3 u^2}{24}$$

11/25

 $\hbar\Omega_3 = \frac{u^2}{24}$ Условие применимости: характерный размер ловушки  $a_0\gg |a_{sc}|\,N$ 

#### Бозонные Джозефсоновские контакты



#### Полуклассическая модель

$$H_{\mathrm{БДК}} = \kappa N \left( -\frac{\lambda}{2} z^2 - \sqrt{1 - z^2} \cos[\theta] \right)$$

#### Квантовая модель

$$\widehat{H}_{\mathrm{БДК}} = \kappa N \left( -\frac{\lambda}{2} \hat{z}^2 + \frac{1}{N} (\hat{a}^+ \hat{b} + b^+ \hat{a}) \right)$$

 $=\frac{uN}{2\kappa}$ 

– основной управляющий параметр

[Smerzi A. et al. Physical Review Letters (1997) 79 4950; Mazzarella G. et al. Physical Review A (2011) 83 053607;

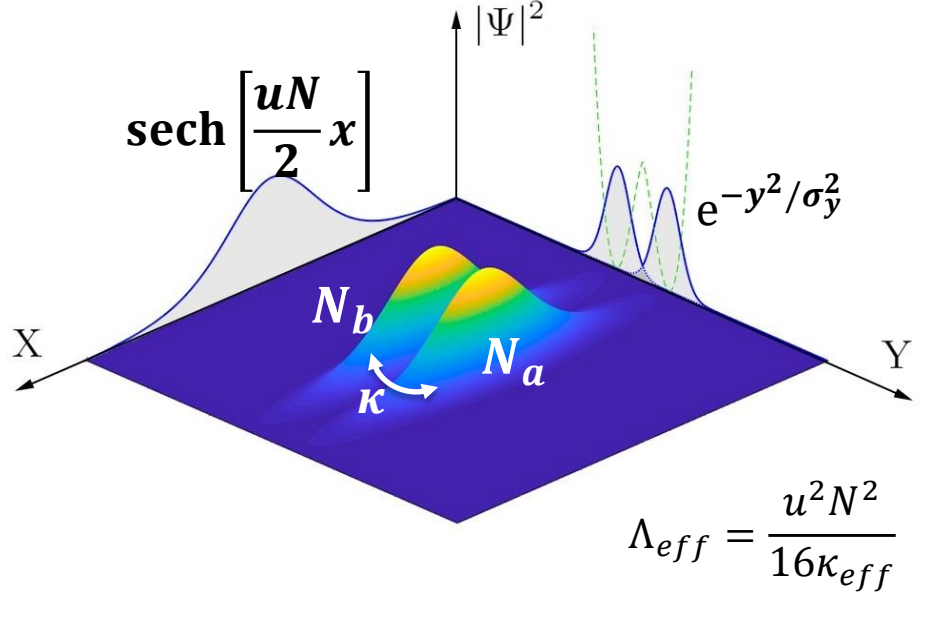
Haigh T J, Ferris A J, Olsen M K Optics Communications (2010) 283 3540]

$$z = (N_b - N_a)/N$$
 – разность населенностей

 $\kappa$  — скорость туннелирования

$$\hat{z} = (\hat{b}^+\hat{b} - \hat{a}^+\hat{a})$$
/N – оператор разности числа частиц

#### Солитонные Джозефсоновские контакты



#### Полуклассическая модель

$$H_{\mathrm{CДK}} = \kappa_{eff} N \left( -\frac{\Lambda_{eff}}{2} z^2 - \sqrt{1 - z^2} \cos[\theta] \right)$$

$$\kappa_{eff} = \kappa (1 - 0.21 z^2) \sqrt{1 - z^2}$$
 эффективная скорость туннелирования

$$\Lambda \equiv rac{u^2 N^2}{16 \kappa}$$
 — основной управляющий параметр

#### Self-tuning effect

Для 
$$z^2 \ll 1$$
  $\longrightarrow$   $\kappa_{eff} pprox \kappa$  и  $\Lambda_{eff} pprox \Lambda$  - аналогично гауссовым БЭК

Для  $z^2 o 1$  **ж** $_{eff} o 0$  и  $\Lambda$   $_{eff} o \infty$  - **туннелирование** заблокировано!

#### Квантование СДК

#### Полуклассический СДК-Гамильтониан

$$H_{\text{СДК}} = -\frac{\Lambda}{2}z^2 - (1 - 0.21z^2) \left(\sqrt{1 - z^2}\cos[\theta]\right) \sqrt{1 - z^2}$$

**КВантование** G. Paraoanu, S. Kohler, F. Sols, A. Leggett J. Phys. B: At. Mol. Opt. Phys. 34 4689 (2001)

$$\sqrt{1-z^2}\cos[\theta] \qquad \qquad \frac{1}{N}(\hat{a}^+\hat{b}+b^+\hat{a})$$

где 
$$\hat{a}=\sqrt{\frac{N}{2}}\sqrt{1-\hat{z}}e^{i\widehat{\theta}/2}$$
 и  $\hat{b}=\sqrt{\frac{N}{2}}\sqrt{1+\hat{z}}e^{-i\widehat{\theta}/2}$  – операторы уничтожения бозонных полей

#### Квантовый СДК-Гамильтониан

$$\widehat{H}_{\text{СДК}} = \kappa N \Biggl( -rac{\Lambda}{2} \hat{z}^2 - rac{1}{2N} \Biggl( \sum_{k=0}^{\infty} inom{k}{1/2} (-1)^k (1 - 0.21 \hat{z}^2) ig( \hat{b}^+ \hat{b} - \hat{a}^+ \hat{a} ig) \hat{z}^{k2} + \text{Э. C.} \Biggr) \Biggr)$$
  $\hat{z} = rac{1}{N} \Bigl( \hat{b}^+ \hat{b} - \hat{a}^+ \hat{a} \Bigr) - \text{ оператор разности числа частиц}$ 

 $\sqrt{1-\hat{z}^2}=\sum_{k=0}^{\infty} \binom{k}{1/2} (-1)^k \hat{z}^{2k}$  — формальное разложение радикала в ряд

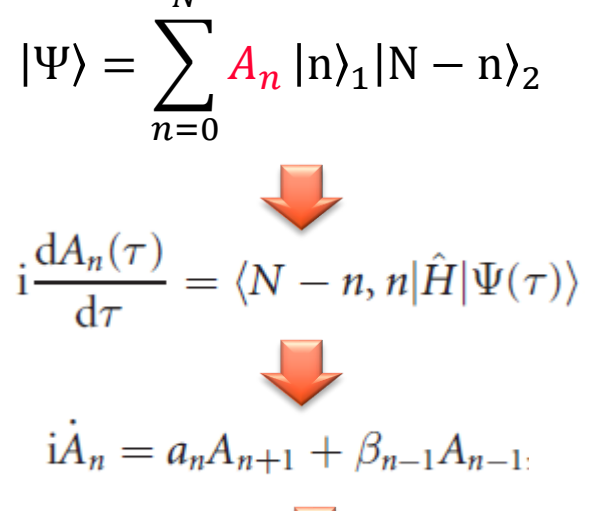


#### Quantum SJJ model; Basic Equations

#### **Ground state in the Fock basis:**

Where 
$$\sum_{n=0}^{N} |A_n|^2 = 1$$

Coefficients  $A_n$  may be find from solution of Schrodinger equation



$$\alpha_n = -\frac{\Lambda}{2} \left( \frac{2n}{N} - 1 \right)^2,$$

$$\beta_n = -\frac{1}{N^2} \left( \left[ 1 - 0.21 \left( \frac{2n}{N} - 1 \right)^2 \right] (n+1) \sqrt{(N-n)(N-n-1)} + \left[ 1 - 0.21 \left( \frac{2(n+1)}{N} - 1 \right)^2 \right] (N-n) \sqrt{n(n+1)} \right)$$

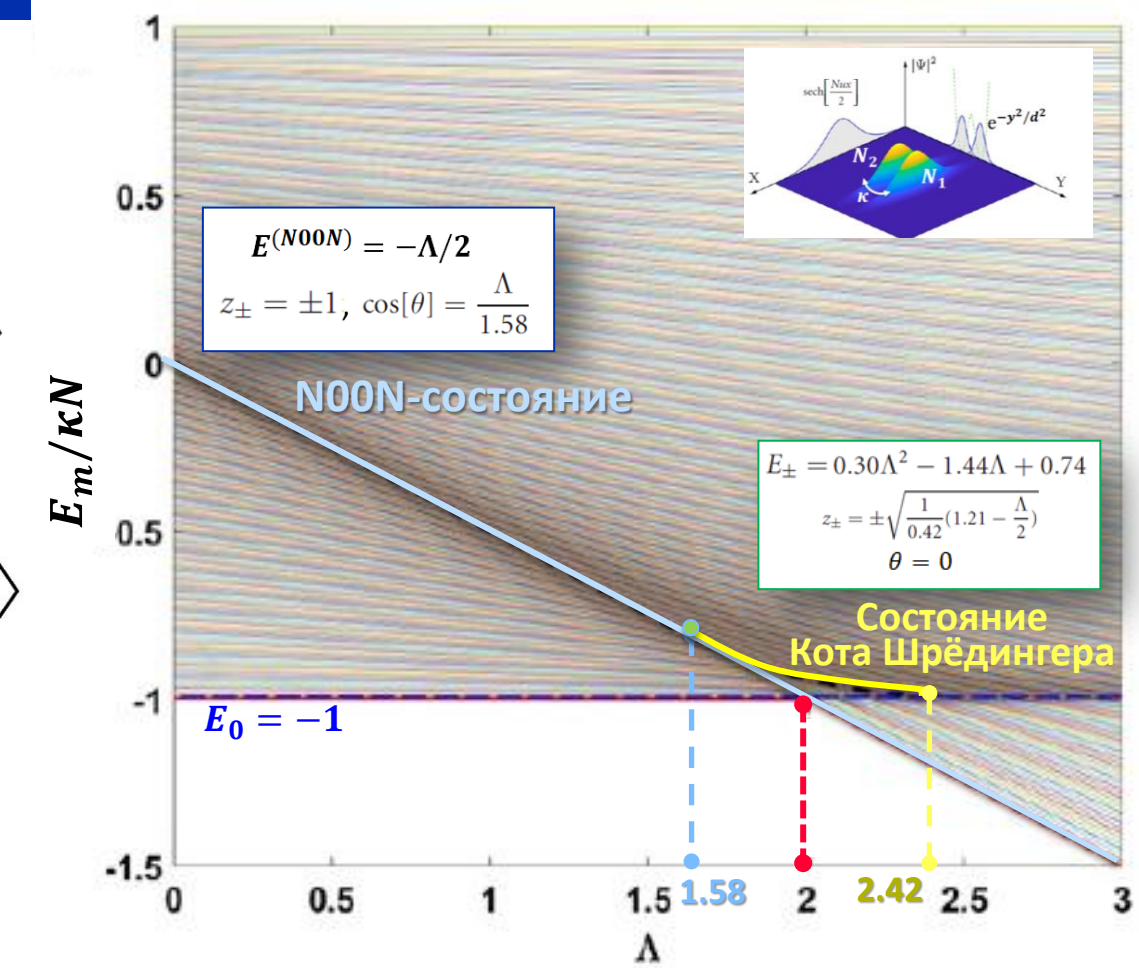
#### Спектр энергии Солитонных ДК

Собственые энергии Гамильтониана СДК,  $E_m/\kappa N$ , при разных  $\Lambda$ ; N=300 частиц

| Cat-state 
$$> \simeq \left| \frac{1}{N_a N_b} \right| + \left| \frac{1}{N_b N_a} \right|$$

$$\left| \begin{array}{c} \text{NOON-state} > \simeq \middle| \begin{array}{c} \searrow \\ N & 0 \end{array} \right| + \left| \begin{array}{c} \searrow \\ 0 & N \end{array} \right|$$

D V Tsarev, A P Alodjants, T.V. Ngo and Ray-Kuang Lee, New J. of Physics. V. 22. P. 113016 (2020)



#### $\Phi$ азовый переход, формирование N00N-состояния ITMO UNIVERSITY

0.08

0.07

Основное состояние в фоковском базисе:

$$|\Psi\rangle = \sum_{n=0}^{N} A_n |n\rangle_a |N-n\rangle_b; \quad \sum_{n=0}^{N} |A_n|^2 = 1$$

$$n=0$$

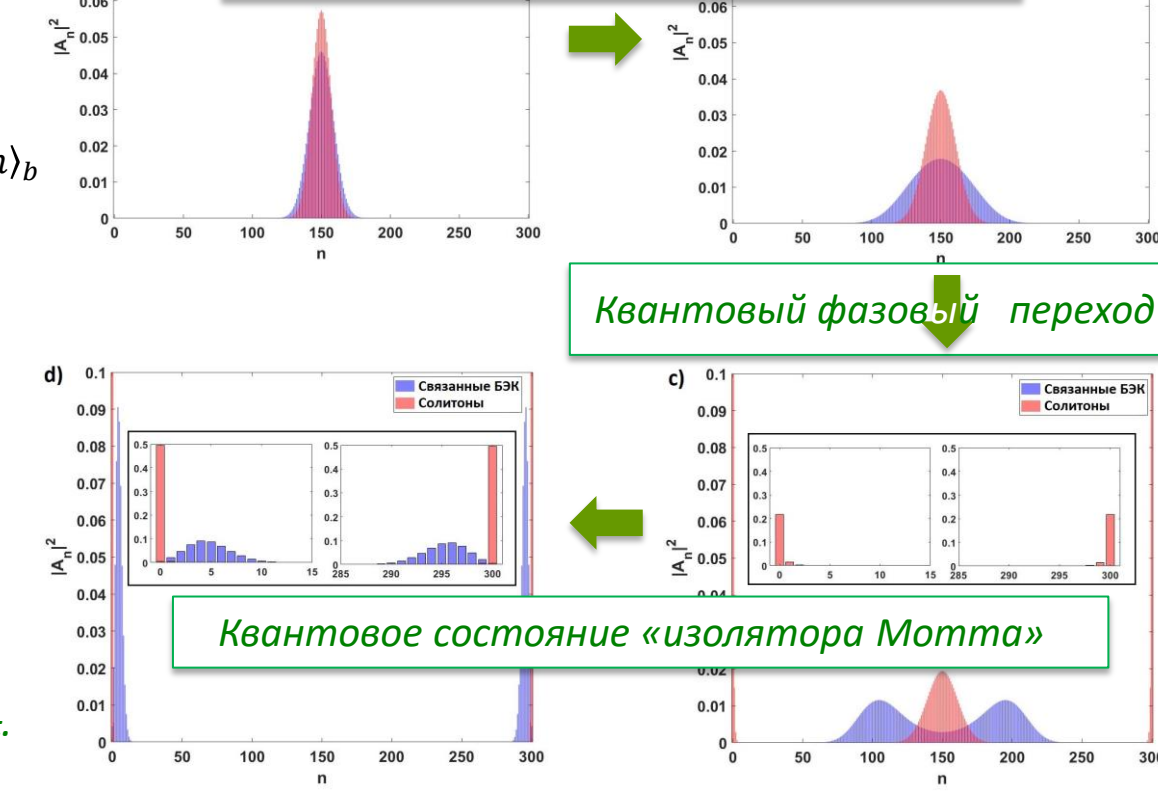
$$E_0 \sum_{n=0}^{N} A_n |n\rangle_a |N-n\rangle_b = \sum_{n=0}^{N} A_n \widehat{H} |n\rangle_a |N-n\rangle_b$$
a)  $\Lambda, \lambda \approx 0$ ;

b) 
$$\Lambda = 2$$
,  $\lambda = 1$ ;

 $\Lambda \approx 2.009925, \lambda = 1.06$ ;

d) 
$$\Lambda$$
,  $\lambda = 4$ 

Haigh T J, Ferris A J and Olsen M K Opt. 16/25 Commun. 283 3540-7 (2010)



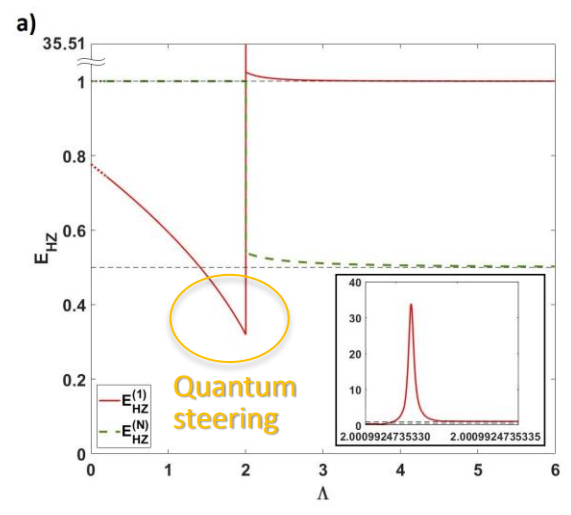
Сверхтекучая фаза конденсата атомов

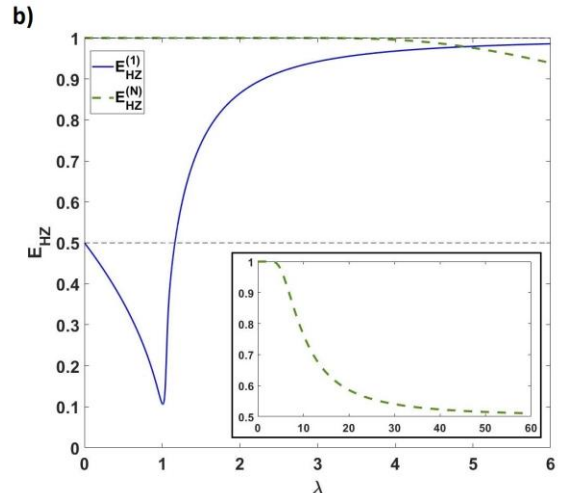
Солитонь

Связанные БЭК

#### Критерий запутанности Хиллари-Зубайри m-го порядка: $0 \le E_{HZ}^{(m)} < 1$

$$E_{HZ}^{(m)} = 1 + \frac{\left\langle (\hat{a}^{+})^{m} (\hat{a})^{m} (\hat{b}^{+})^{m} (\hat{b})^{m} \right\rangle - \left| \left\langle (\hat{a}^{+})^{m} (\hat{b})^{m} \right\rangle \right|^{2}}{\left\langle (\hat{a}^{+})^{m} (\hat{a})^{m} \left( (\hat{b})^{m} (\hat{b}^{+})^{m} - (\hat{b}^{+})^{m} (\hat{b})^{m} \right) \right\rangle}$$





$$E_{HZ}^{(1)} = 1 + \frac{\langle \hat{a}^{\dagger} \hat{a} \hat{b}^{\dagger} \hat{b} \rangle - |\langle \hat{a}^{\dagger} \hat{b} \rangle|^2}{N/2}$$

$$E_{HZ}^{(N)} = 1 - |A_N|^2$$

He Q Y, Peng S G, Drummond P D, and Reid M D 2011 *Phys. Rev.* A 84 022107 H. M. Wiseman, S. J. Jones, and A. C. Doherty Phys. Rev. Lett. 98, 140402

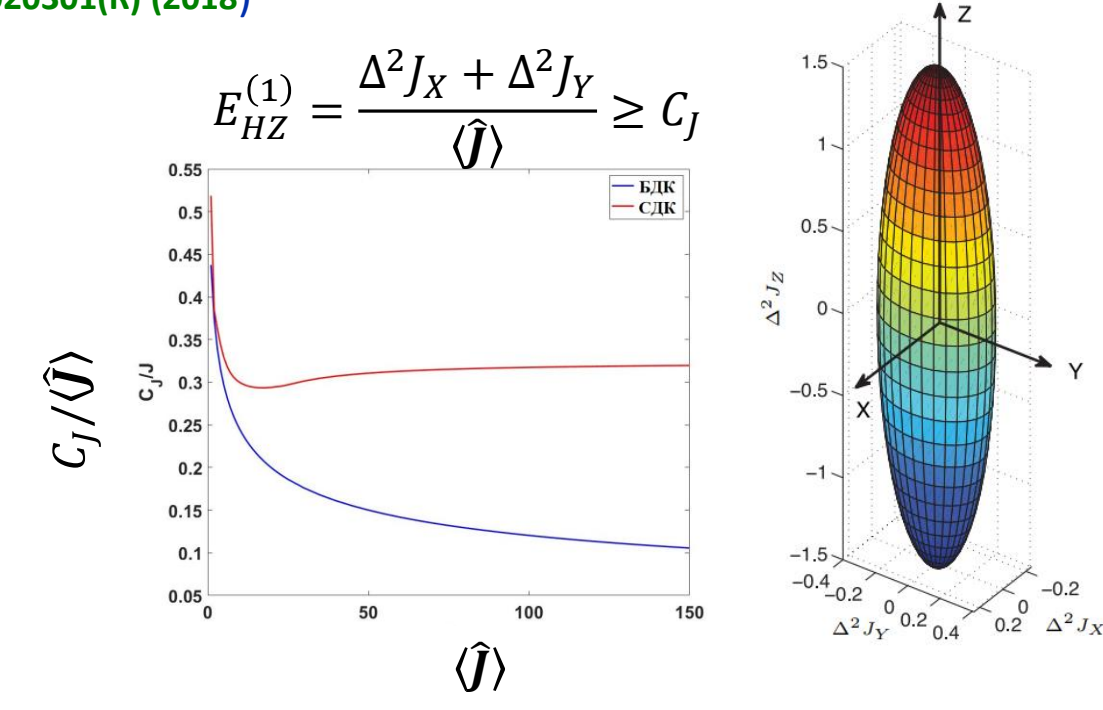
#### Планарное спиновое -сжатие

#### Определение G. Vitagliano, et al, PRA 97, 020301(R) (2018)

$$\xi_{\parallel}^2 := rac{(\Delta J_{\parallel})^2}{|\langle J_{\parallel} 
angle|},$$

$$\langle \boldsymbol{J} \rangle = \frac{1}{N}$$
 $C_I^{\text{БДК}} \propto 0.6 \langle \boldsymbol{J} \rangle^{-\frac{1}{3}} \approx 0.76 N^{-\frac{1}{3}}$ 

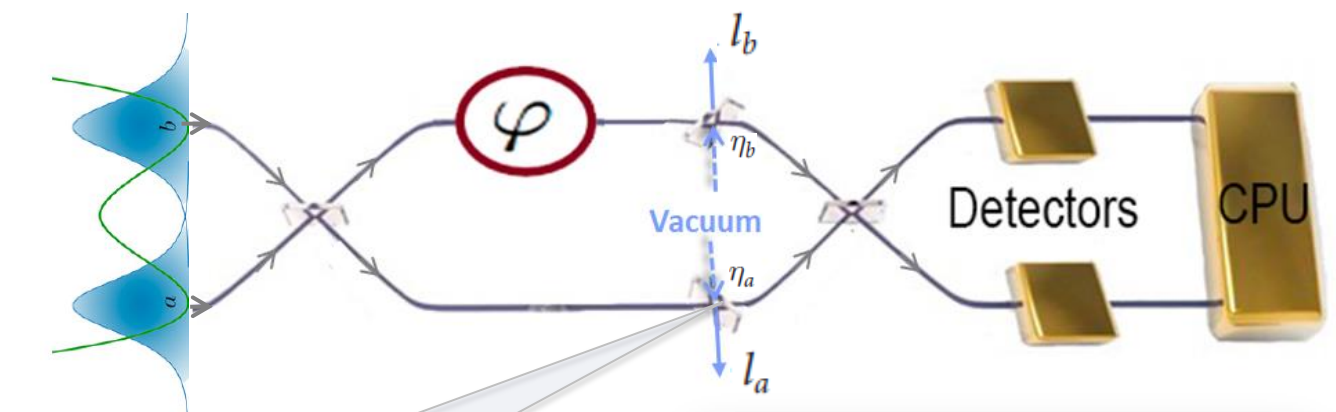
Зависимость  $C_J^{CДК}$  от  $\langle J \rangle$  получена численно как минимум  $E_{HZ}^{(1)}$  для заданного  $\langle J \rangle$  и всех возможных  $\Lambda$ 



He Q Y, Peng S G, Drummond P D, and Reid M D 2011 Phys. Rev. A 84 022107

#### Lossy Quantum Metrology

#### **Fictitious Beam Splitters method**



 $\hat{a}_{\text{in}} \xrightarrow{\text{Vacuum}} \hat{c}_{\text{in}}$   $\hat{a}_{\text{out}}$ 

$$\hat{a}_{\text{out}} = \sqrt{\eta} \hat{a}_{\text{in}} + \sqrt{1 - \eta} \hat{c}_{\text{in}}$$

 $0\leqslant\eta\leqslant1$ 

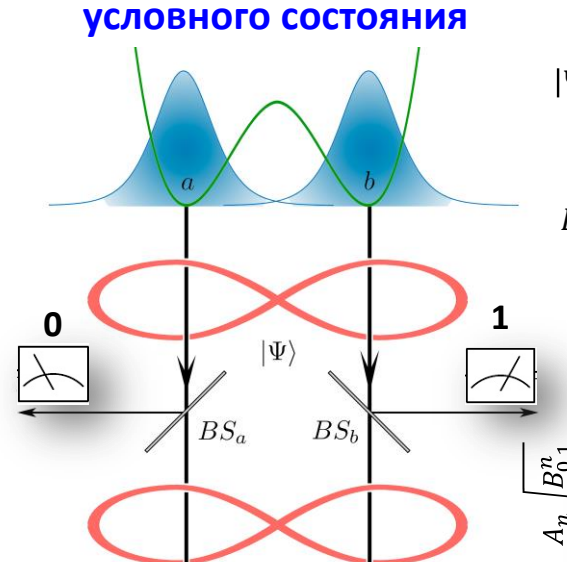
- $c_{
  m in}$  Is in vacuum state and characterizes coupling with environment
- $\eta$  is transmissivity of fictitious BS in the channel
- > Gardiner C and Zoller P 2000 Quantunm Noise (Berlin: Springer)
- > U. Dorner, et al, PRL 102, 040403 (2009)
- > A A Semenov et al J. Phys. B: At. Mol. Opt. Phys. 39 905 (2006)



#### Моделирование диссипации методом фиктивных делителей пучков

#### Схема приготовления

#### Условное состояние



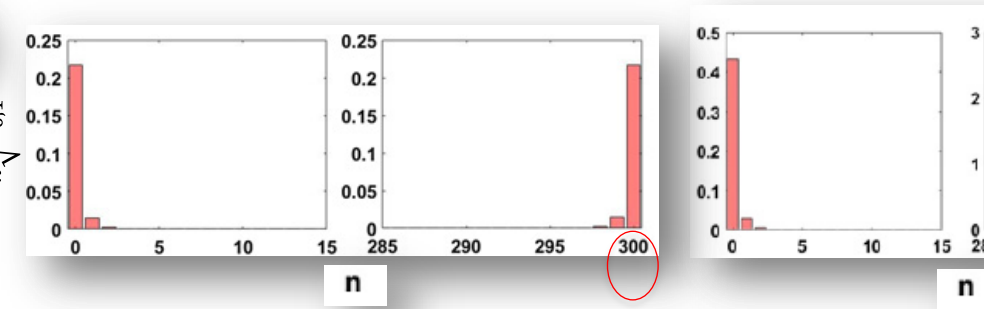
 $|\Psi_{out}\rangle$ 

$$|\Psi\rangle = \sum_{n=0}^{\infty} \frac{A_n}{|n\rangle_a |N-n\rangle_b}$$

$$|\Psi\rangle = \sum_{n=0}^{N} A_n |n\rangle_a |N-n\rangle_b \qquad |\Psi_{out}\rangle = \sum_{l_b=0}^{N} \sum_{l_a=0}^{N-l_b} \sum_{n=l_b}^{N-l_a} A_n \sqrt{B_{l_a,l_b}^n} |N-n-l_a\rangle_a |n-l_b\rangle_b$$

$$B_{l_a,l_b}^n = \binom{N-n}{l_a} \binom{n}{l_b} \eta_a^{N-n} (\eta_a^{-1} - 1)^{l_a} \eta_b^n (\eta_b^{-1} - 1)^{l_b}$$

$$N = 300;$$
  $\eta_a = \eta_b = 0.999;$   $\Lambda = \Lambda_c \approx 2.0009925$ 



До измерения

После измерения

295

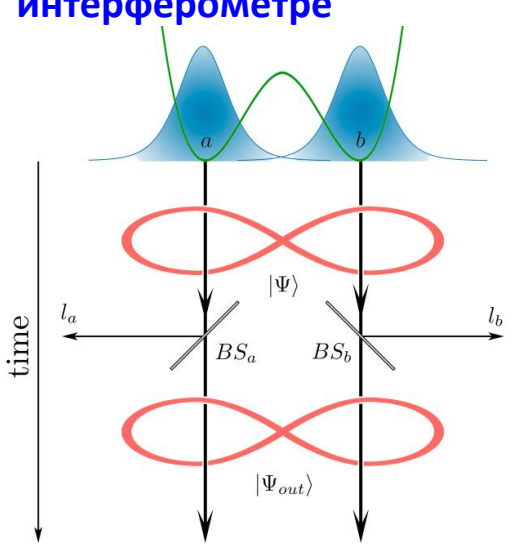
Суперпозиция состояний Фока:

$$|\Psi_{out}^{(1,0)}\rangle = \sum_{n=0}^{N-1} A_n \sqrt{N-n} \sqrt{\eta^{N-1}(1-\eta)} \, |N-n-1| \rangle_a |n| \rangle_b$$
 Населенность меньше в  $\sqrt{N}$  раз

time

#### Распределение мод в результате потерь

#### Моделирование потерь в интерферометре



#### Состояние

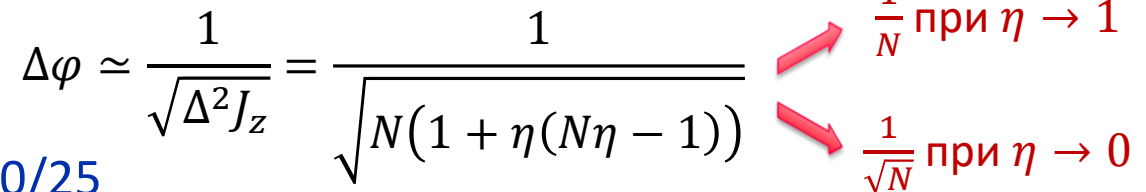
$$|\Psi_{out}\rangle = \sum_{n_a=0}^{N} \sum_{n_b=0}^{N} C_{n_a,n_b} |n_a,n_b\rangle; \quad C_{n_a,n_b} = \sum_{n=n_b}^{N-n_a} A_n \sqrt{B_{N-n-n_a,n-n_b}^n}$$

$$|\Psi_{out}\rangle = \sum_{n=0}^{N} \sqrt{\alpha_n} (|n\rangle_a |0\rangle_a + |0\rangle_a |n\rangle_a)$$
Het noteps

$$\alpha_{n} \approx \frac{1}{2\sqrt{2\pi N(1-\eta)}} e^{-\frac{(n-N\eta)^{2}}{2N(1-\eta)}}$$

$$\sum_{\substack{n=0 \ n \neq 0.2 \ n \neq 0.2}} 0.3$$

$$\eta_a = \eta_b \equiv \eta \quad \Lambda = \Lambda_c \approx 2.003007086$$









40



 $\eta = 0.95$ 

Нет потерь

20

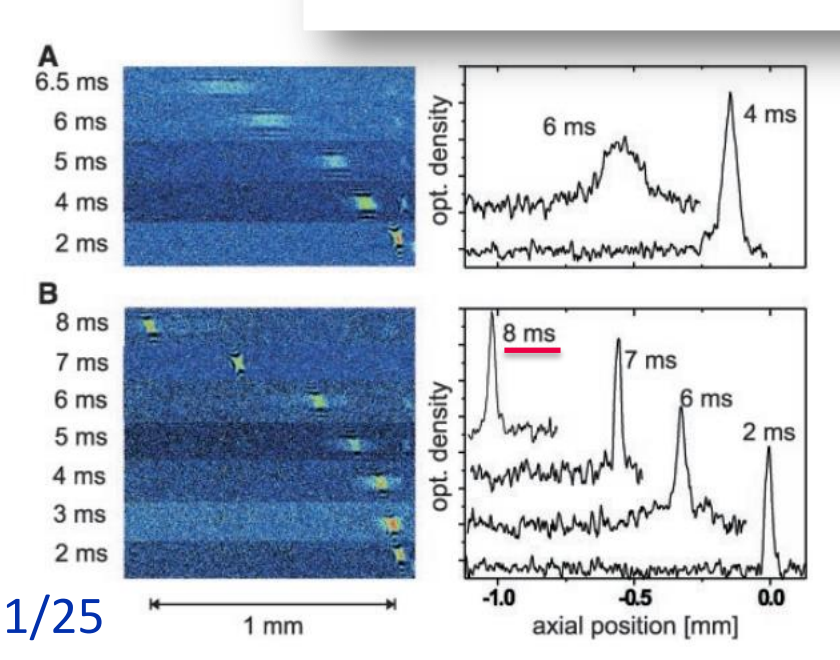


#### Потери в полуклассическом пределе

- Одночастичные потери (экспоненциальный распад)
  - Трёхчастичные потери (не экспоненциальный распад)

$$\gamma_1 = 0.200c^{-1}$$
  
 $\gamma_3 = 0.052c^{-1}$ 

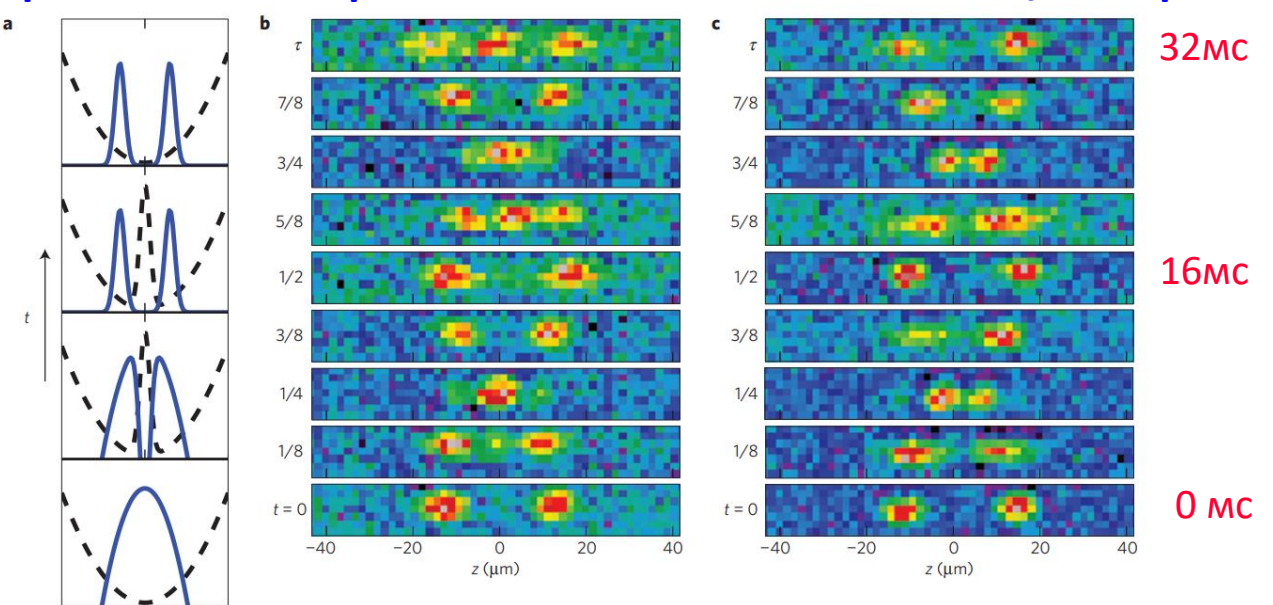
#### В современных экспериментах выполняется условие $\gamma_{1,3} au \ll 1$



Картины поглощения через некоторое время выключения потенциального барьера. Распространение идеального БЭК (А) и солитона (В) в горизонтальном одномерном волноводе в присутствии выталкивающего потенциала. Можно видеть, что солитон распространяется без более дисперсии чем на MM. Соответствующие профили вертикальные усреднены.

Lev Khaykovich, et al, Science 296 1290 (2002)

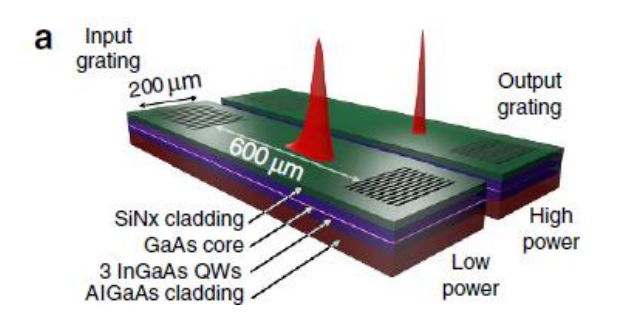
#### Схема эксперимента и изображение столкновений, зависящих от фазы солитонов



а) С помощью потенциального барьера формируется пара солитонов. **b-c**) Барьер отключается, солитоны эволюционируют, ускоряясь в направлении центра ловушки и сталкиваясь друг с другом через четверть периода  $\tau/4$  ( $\tau=2\pi/\omega_z=32\text{ms}$ ). Пик плотности в центре масс свидетельствует о синфазном ( $\theta=0$ ) или противофазном ( $\theta=\pi$ ) столкновении для (c) и (b), соответственно.

#### Что насчёт других солитонов?

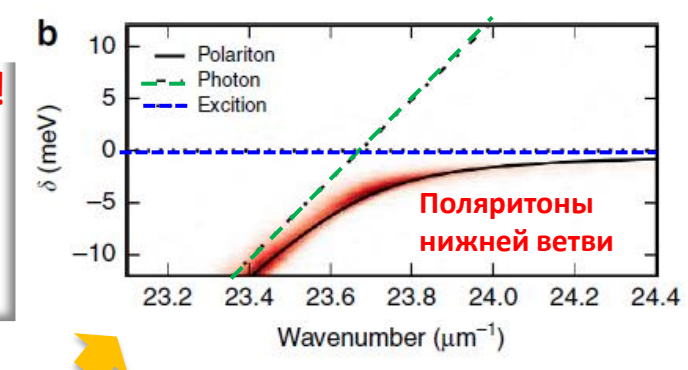
#### Экситон поляритонные солитоны в волноводах [P.M. Walker, et al, Nat.com.6, 2015]

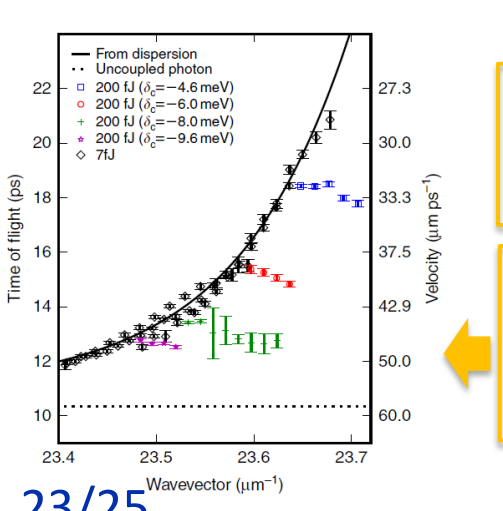


Сильное взаимодействие!

$$\gamma \ll \Omega_R$$

$$\gamma=44.3$$
мкэВ,  $\Omega_{
m R}$ =4.5мэВ





(a) Схема волновода (один и тот же волновод изображен с оптическими импульсами в условиях слабого и сильного возбуждений). (b) Спектр фотолиюминисценции демонстриурет эмиссию поляритонов нижней ветви (красным цветом).

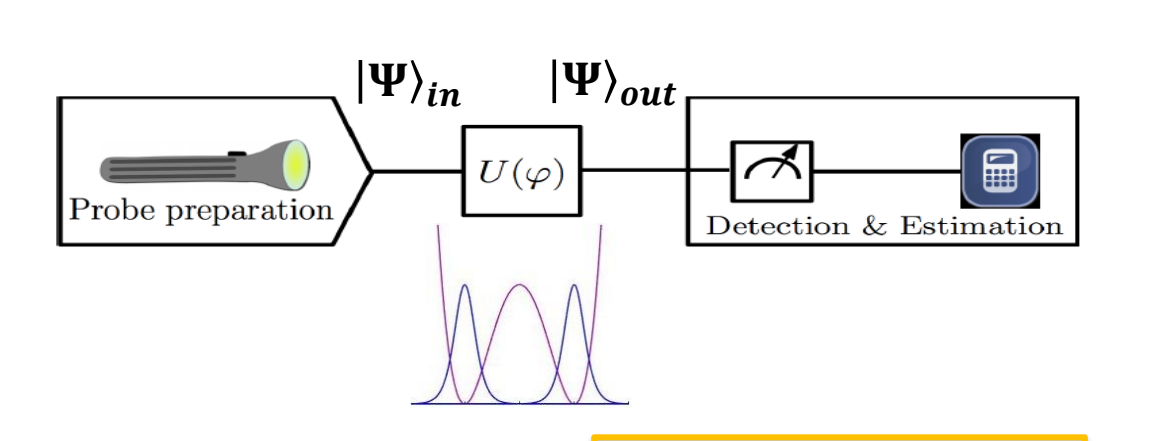
Измеренное время пролёта компонент импульса с различными волновыми векторами при малой (чёрные ромбы) и сильной (цветные символы) мощности излучения, а также время пролёта, извлеченное из кривизны поляритонной дисперсии (сплошная кривая)

Коэффициент преломления  $n_2 = -1.6 \times 10^{-14} \, \mathrm{m}^2 \mathrm{Br}^{-1}$  на три порядка больше, чем в плоских AlGaAs волноводах в режиме слабой связи.

#### Заключение

- Впервые предложена концепция использования квантовых светлых солитонов мезоскопическим числом частиц для задач квантовой метрологии.
- ▶ Предложена система солитонных Джозефсоновских контактов (СДК), которые позволяют приготавливать запутанные фоковские состояния для оценки физических (фазовых) параметров вплоть до предела Гейзенберга 1/N по числу частиц.
- > Выявлено, что при экспериментально реализуемых условиях в системе СДК могут формироваться максимально запутанные NOON-состояния.
- Выявлена устойчивость предложенные квантовых состояний относительно потерь небольшого числа частиц.
   Статьи:
  - ✓ **D.V. Tsarev , A.P. Alodjants, T.V. Ngo, Ray-Kuang Lee** *Mesoscopic quantum superposition states of weakly-coupled matter-wave solitons* **New J. Phys.**, 22, 113016 (2020)
  - ✓ Д.В. Царёв, Т.В. Нго, А.П. Алоджанц Запутанные состояния материальных солитонов для квантовой метрологии Известия Российской Академии наук. Серия физическая, 84, 332 (2020)
  - ✓ D.V. Tsarev , T.V. Ngo, Ray-Kuang Lee, A.P. Alodjants Nonlinear quantum metrology with moving matter-wave solitons New J. Phys., 21, 083041 (2019)
- ✓ D.V. Tsarev , S.M. Arakelian, You-Lin Chuang, Ray-Kuang Lee, A.P. Alodjants Quantum metrology beyond Heisenberg limit with entangled matter wave solitons Optics Express, 26, 19583 (2018)

#### Нелинейная метрология



$$U(\varphi)=e^{i\varphi N^m}$$

φ – нелинейный набег фазы на одну частицу

Супер-Гейзенберговский Предел с максимально запутанными состояниями

$$\frac{1}{N^m} \leq \Delta \varphi \leq \frac{1}{N^{m-1/2}}$$

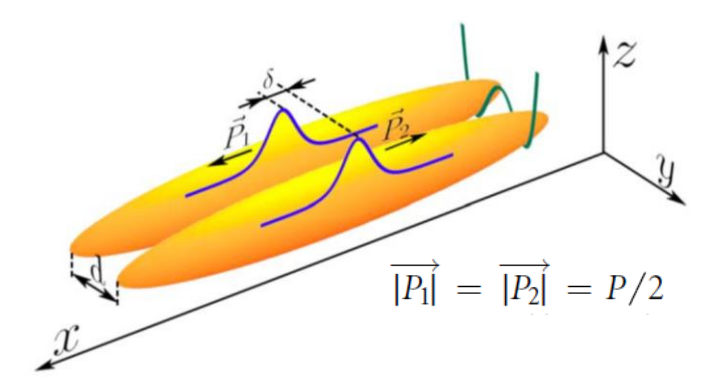
**Квантовый предел** с двухмодовым когерентным нач. состоянием

#### Некоторые ссылки

- Sergio Boixo et al Generalized Limits for Single-Parameter Quantum Estimation PRL 98, 090401 (2007)
- M. Napolitano et al *Interaction-based quantum metrology showing scaling beyond the Heisenberg limit*Nature **471**, 486 (2011)

#### Nonlinear Metrology with solitons; Results

#### Scheme for counterpropagating solitons

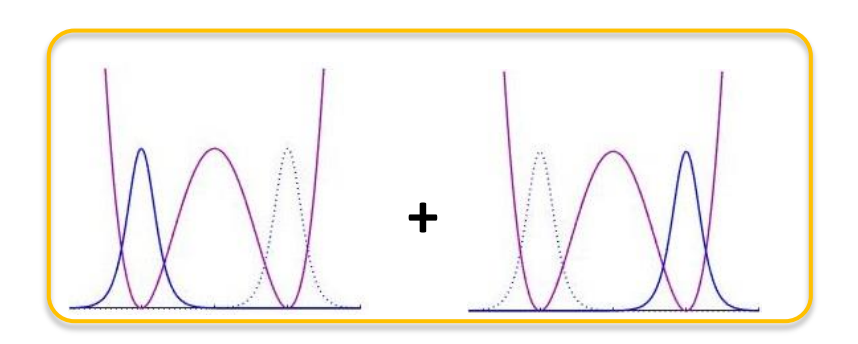


#### **Superposition NOON-state:**

$$|N00N\rangle = \frac{1}{\sqrt{2}}(|N0\rangle + e^{-i\varphi_{sol}}|0N\rangle),$$

**P** – relative momentum of solitons;

 $\delta$  – relative coordinate of solitons.



$$\varphi_{sol} = \arccos(-0.625\Lambda)$$

D V Tsarev, T.V. Ngo, Ray-Kuang Lee, and AP Alodjants, *Nonlinear quantum metrology with moving matter-wave solitons*, New J. Phys. 21, 083041, (2019)

#### Propagation Dennor For y soliton Pharameters ence estimation

Soliton phase 
$$\varphi_{sol} \approx \frac{\pi}{2}N + 0.63N^3\Theta$$

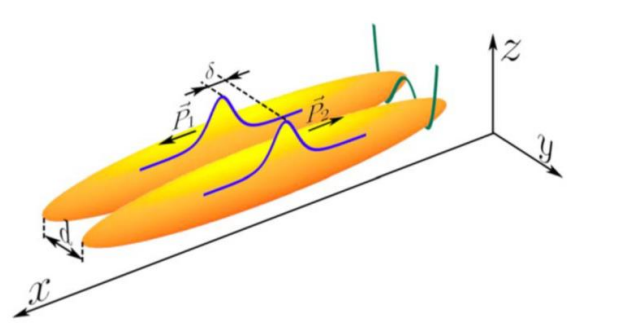
where  $\Theta = u^2/16\kappa$  is parameter that we can estimate

 $\Delta\Theta \propto \frac{1}{N^3}$ 

Phase difference of two interfering matter waves  $\ oldsymbol{arphi} = P oldsymbol{\delta}/\hbar$ 

Standard Quantum Limit for displacement measurement with  $\Delta \varphi_{SOL} = 1/\sqrt{N}$ 

$$\Delta oldsymbol{\delta_{SQL}} = rac{\hbar}{\sqrt{N}P}$$



Propagation error for solitons displacement

$$\Delta\delta \propto \frac{\Theta}{N^3P}$$

## Спасибо за внимание!

Д.В. Царёв

dmitriy\_93@mail.ru



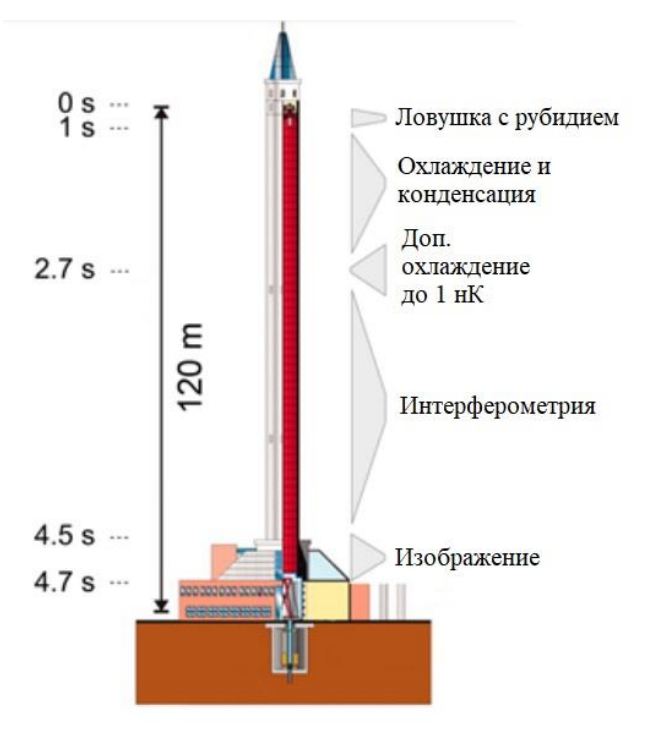
#### Статьи:

- ✓ D.V. Tsarev , A.P. Alodjants, T.V. Ngo, Ray-Kuang Lee Mesoscopic quantum superposition states of weakly-coupled matter-wave solitons New J. Phys., 22, 113016 (2020)
- ✓ Д.В. Царёв, Т.В. Нго, А.П. Алоджанц Запутанные состояния материальных солитонов для квантовой метрологии Известия Российской Академии наук. Серия физическая, 84, 332 (2020)
- ✓ D.V. Tsarev , T.V. Ngo, Ray-Kuang Lee, A.P. Alodjants Nonlinear quantum metrology with moving matter-wave solitons New J. Phys., 21, 083041 (2019)
- ✓ D.V. Tsarev , S.M. Arakelian, You-Lin Chuang, Ray-Kuang Lee, A.P. Alodjants Quantum metrology beyond Heisenberg limit with entangled matter wave solitons Optics Express, 26, 19583 (2018)

#### Просидинги:

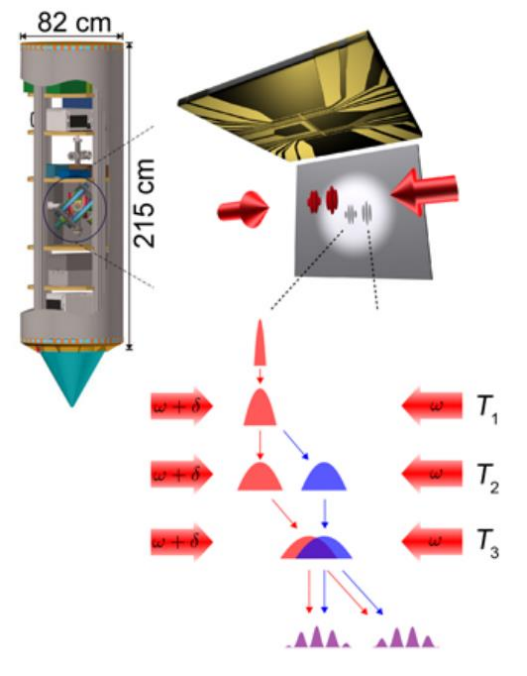
- ✓ D.V. Tsarev , A.P. Alodjants, T.V. Ngo Beating Heisenberg limit with moving matter-wave solitons Proceedings - International Conference Laser Optics (ICLO), 1 (2020)
- D.V. Tsarev, Ray-Kuang Lee, A.P. Alodjants Quantum metrology beyond Heisenberg limit with entangled motion of the solitons // Proceedings International Conference Laser Optics (ICLO), 328 (2018)

## БЭК-интерферометрия на чипе



Интерферометрия – три импульса, эквивалентные движущимся брэгговским решёткам.

Интерферируя, атомные облака формируют макроскопические полосы аналогичные традиционной интерференционной картине.



Возможно

получать

макроскопические

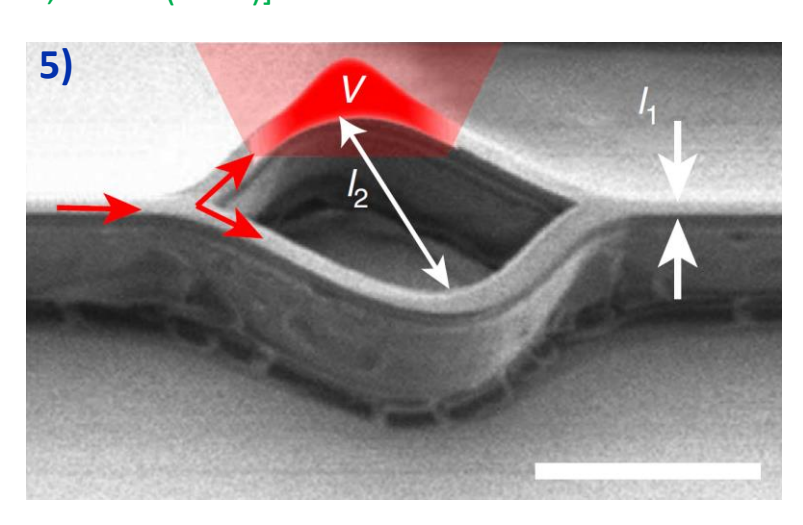
квантовые

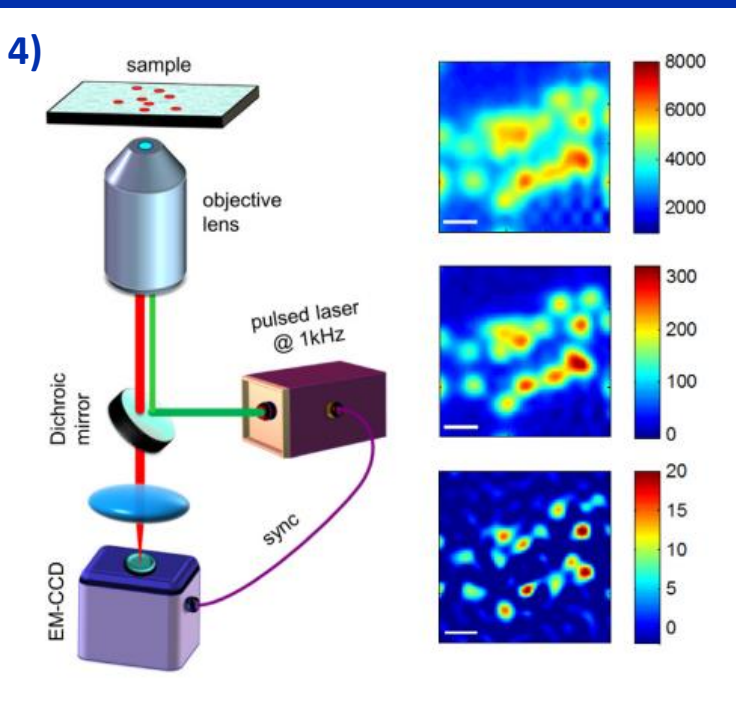
состояния

в масштабе миллиметров и секунд!

#### Актуальность темы

4)Точные измерения с малым числом частиц в 4) биологии [M.A. Taylor, W.P. Bowen Physics Reports 615 (2016) 1–59] 5)Интерферометрия с квазичастицами (экситон поляритонами) [T.L.Gustavson, P.Bouyer and M.A.Kasevich, PRL, 78, No.11 (1997)].





Белая полоса соответствует масштабу 20 мкм,  $l_1$  и  $l_2$  — 3 и 25 мкм соответственно.

#### Интерферометрия с когерентным состоянием $|\alpha\rangle$

Интерферометр Маха-Цендера

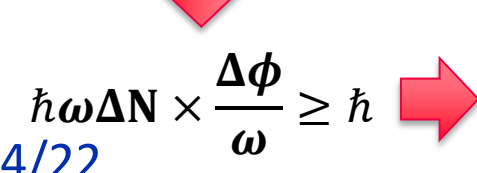
$$I_{\rm C} = I_{\rm A} \sin^2(\varphi/2)$$
.

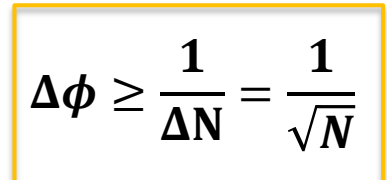
 $I_{\rm D} = I_{\rm A} \cos^2(\varphi/2)$ 

#### Неопределенность при измерении фазы:

Соотношение неопределенностей

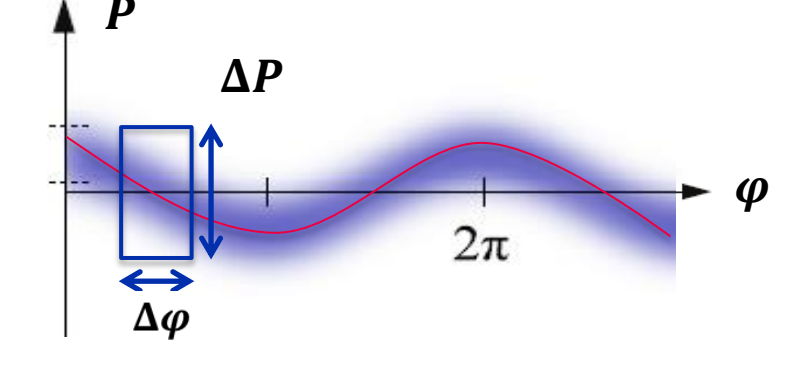
$$\Delta \mathcal{E} \times \Delta \mathbf{t} > \hbar$$





$$I_C + I_D = I_A$$

$$P = I_D - I_C = I_A \cos[\varphi]$$



$$\Delta \varphi = \frac{\Delta P}{|\partial P/\partial \varphi|} = \frac{\Delta P}{I_A |sin(\varphi)|} = \frac{\Delta P}{I_A} \quad For \ \varphi = \frac{\pi}{2}$$

[Yurke B., McCall S. L., Klauder J. R. SU (2) and SU (1, 1) interferometers //Physical Review A. – 1986. – T. 33. – №. 6. – C. 4033.]

Стандартный квантовый предел (СКП)